

ЗАХВАТ ЭЛЕКТРОНОВ НА ОТТАЛКИВАЮЩИЕ КУЛОНОВСКИЕ ЦЕНТРЫ В ГЕРМАНИИ

С. Бумялене, И. Н. Яссиевич *

Институт физики полупроводников Академии наук Литвы, 232600, Вильнюс, Литва
(Получена 26.02.1992. Принята к печати 4.03.1992)

Экспериментальные полевые и температурные зависимости коэффициентов захвата электронов на отталкивающие центры никеля, золота, меди и платины в равных зарядовых состояниях в германии сопоставлены с теорией многофононного захвата. Получено хорошее их согласие. Установлены значения параметра центра T_1 , характеризующие соответствующие примеси.

Введение. Существование кулоновского барьера является определяющим фактором при захвате носителей заряда на отталкивающие центры. Основной характерной особенностью процесса захвата на такие центры является экспоненциальный рост скорости захвата с увеличением электронной температуры T_e , т. е. с увеличением напряженности внешнего электрического поля или с ростом температуры решетки [1–3]. Отталкивающие центры — обычно глубокие центры с энергией связи, существенно превышающей боровскую энергию. Поэтому захват носителей должен сопровождаться многофононными переходами. Учет таких переходов существенно влияет как на скорость захвата, так и на характер зависимости коэффициента захвата от решеточной и электронной температуры [4, 5]. Было показано, что при учете многофононных переходов коэффициент захвата на отталкивающий кулоновский центр определяется формулой

$$C^-(T_e) = C^0 \sqrt{\frac{4\gamma}{\pi}} \int_0^\infty \frac{\exp(-x)}{\exp \sqrt{\gamma/x} - 1} dx, \quad (1)$$

$$\gamma = 4\pi^2 E_B / k T_e^*.$$

Здесь C^0 — коэффициент захвата на нейтральный глубокий центр, $E_B = Z^2 e^4 m^*/2\pi^2 \hbar^2$ — боровская энергия центра, Ze — заряд центра, π — диэлектрическая константа. В качестве эффективной массы m^* следует использовать в случае анизотропного закона дисперсии массу, вычисленную из энергии связи для мелкого донорного состояния, например, вариационным методом. Это значение близко к значению эффективной массы плотности состояний m_j . Эффективная электронная температура T_e^* определяется соотношением

$$\frac{1}{T_e^*} = \frac{1}{T_e} + \frac{1}{T_1}, \quad (2)$$

* Физико-технический институт им. А. Ф. Иоффе Российской академии наук, 194021, Санкт-Петербург, Россия.

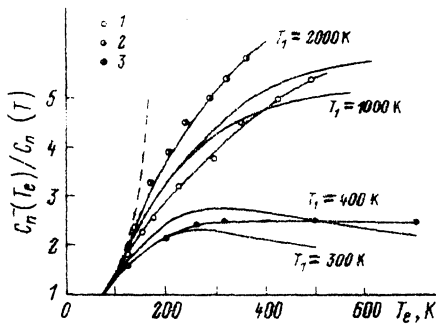


Рис. 1. Зависимость коэффициента захвата электронов на отталкивающие однозарядные центры в германии от электронной температуры при $T = 77$ К. 1, 2 — Ni^- [1], 3 — Au^- [2]. Электронная температура определена: 1 — из измеренной полевой зависимости подвижности электронов, 2, 3 — уравнения баланса энергии [2]. Тонкие кривые — расчет по формуле (1), штриховые — $C_n^- \sim \exp - (T_0/T_e)^{1/3}$ [1].

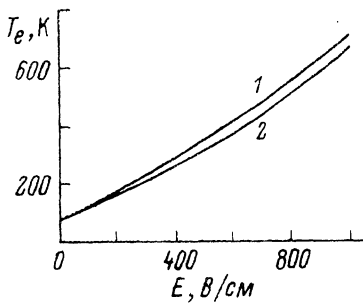


Рис. 2. Полевая зависимость электронной температуры при $T = 77$ К: 1 — в $n\text{-Ge(Ni)}$, определенная из измерений подвижности [1], 2 — в $n\text{-Ge(Au)}$, вычисленная из уравнения баланса энергии [2].

где T_e — электронная температура, а температура T_1 является параметром центра по порядку величины $T_1 \approx \hbar\omega/k$ (ω — частота локальной моды, определяющей многофононный процесс, k — константа Больцмана).

При увеличении электронной температуры, согласно формуле (1), коэффициент захвата должен достигать максимума при T_e , близком к T_1 , а затем спадать в отличие от полученной Бонч-Бруевичем [1]. В данной работе произведен анализ экспериментальных данных по захвату электронов на отталкивающие многозарядные центры Ni^- , Au^- , Au^+ , Cu^+ и Pt^\pm , определенных методом [2] кинетики фототока при приложении прямоугольного импульса греющего электрического поля. Показано хорошее соответствие эксперимента закону (1). Найдены значения параметра T_1 для соответствующих примесей.

1. Захват электронов на никель

Зависимость коэффициента захвата электронов на однозарядные центры никеля C_n^- (уровень $\mathcal{E}_{\text{Ni}} = \mathcal{E}_c - 0.3$ эВ) от электронной температуры (рис. 1) получена следующим образом. Методом кинетики фототока [2] измерена полевая зависимость коэффициента захвата C_n^- при $T = 77$ К [6] на образцах $n\text{-Ge}$, легированного Ni с концентрацией $N_{\text{Ni}} \approx 8 \cdot 10^{14} \text{ см}^{-3}$, степенью компенсации $2N_{\text{Ni}} > N_{\text{Sb}} > N_{\text{Ni}}$ и плотностью дислокаций $5 \cdot 10^3 \text{ см}^{-2}$. Зависимость температуры электронов от напряженности электрического поля E определена из измеренной полевой зависимости подвижности методом, описанным в [7], с учетом рассеяния акустическими и оптическими фононами, а также на ионизированных примесях (рис. 2, кривая 1). Из полученных таким образом зависимостей $C_n^- = f(E)$ и $T_e = f(E)$ построена зависимость коэффициента захвата электронов на однозарядные отталкивающие центры Ni от электронной температуры (рис. 1, кривая 1). Видно, что возрастание C_n^- с увеличением электронной температуры выражено слабее, чем предсказывает теория Бонч-Бруевича [1], учитывающая лишь изменение вероятности туннелирования электронов сквозь кулоновский барьер (рис. 1, штриховая кривая). На рис. 1 показаны результаты расчета по формуле (1) зависимости коэффициента захвата электронов на отталкивающие однозарядные центры в случае действия многофононного механизма релаксации энергии при

разных значениях параметра T_1 . Для примеси никеля наилучшее совпадение получается при значении $T_1 \approx 10^3$ К.

При сопоставлении хода пересчитанных экспериментальных кривых $C_n^- = f(T_e)$ с теоретическими встречаются затруднения, вызванные тем фактом, что максвелловское приближение с электронной температурой T_e применимо лишь в ограниченном интервале энергий. С другой стороны, различные методы восстановления T_e дают несколько различные ее значения. Кривая 2 на рис. 2 получена из решения уравнения сохранения энергии, дающего заниженные значения электронной температуры по сравнению с установленными из изменений подвижности электронов (рис. 2, кривая 1). Хотя различие между значениями T_e , полученными двумя методами, небольшое, при расчете коэффициента захвата в силу их экспоненциальной зависимости от температуры T_e получаются относительно большие расхождения (рис. 1, кривая 2). Отметим, что общая тенденция развития сохраняется, но значение подгоночного параметра T_1 меняется примерно в 2 раза.

Была исследована также температурная зависимость коэффициента захвата электронов на отталкивающие центры в слабом электрическом поле. Она менее чувствительна к выбору значения параметра T_1 . Это показано на примере однозарядных центров никеля в германии (рис. 3). От азотной температуры до 150 К эксперимент хорошо описывается формулой (1) в довольно широком интервале значений T_1 . При дальнейшем увеличении решеточной температуры наблюдается более сильный рост C_n^- (заметная перезарядка уровней Ni в германии начинается при $T > 200$ К). В пределе высоких температур по формуле (1) с использованием экспериментальных данных по захвату на отталкивающие центры можно вычислить значение коэффициента захвата электронов на нейтральный центр Ni: $C_n^0 = 4 \cdot 10^{-9}$ см³/с. Оказалось, что это значение по порядку величины хорошо согласуется с известными из литературы экспериментальными данными по захвату на нейтральные центры никеля: $C_n^0 = 1.2 \cdot 10^{-9}$ см³/с ($T = 300$ К) [8], $C_n^0 = 10^{-9}$ см³/с [9]. Отметим, что, согласно эксперименту [9], C_n^0 не зависит от температуры. Это также совпадает с теорией многофононного захвата [5].

2. Захват электронов на золото

Результаты экспериментального исследования захвата электронов на центры золота в разных зарядовых состояниях в германии выполнены методом кинетики фототока в работах [2, 10]. В случае захвата на однозарядные центры ($\mathcal{E}_{Au} = \mathcal{E}_c$) —

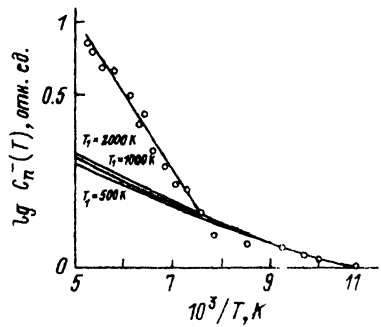


Рис. 3. Температурная зависимость коэффициента захвата электронов на отталкивающие однозарядные центры никеля в германии [9]. Сплошные кривые — расчет по формуле (1).

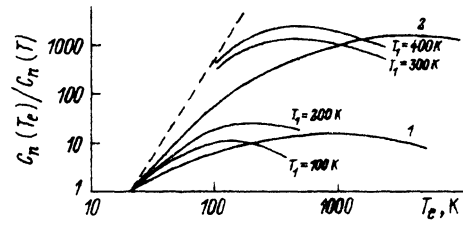


Рис. 4. Зависимость коэффициента захвата электронов на отталкивающие центры золота в германии при $T = 20$ К [10]. Зарядность центра: 1 — Au⁻, 2 — Au⁺. Сплошные кривые — расчет по формуле (1), штриховая — $C_n^- \sim \exp - (T_0/T_e)^{1/3}$ [1].

— 0.2 эВ) при $T = 77$ К [2] наблюдается более слабая зависимость $C_n^- = f(T)$ (рис. 1, кривая 3), чем в случае Ni⁺. Наилучшее совпадение эксперимента с теорией получено при значении $T_1 = 400$ К. При температуре решетки $T = 20$ К (рис. 4) захват электронов как на однозарядные, так и на двухзарядные центры золота ($\mathcal{E}_{Au} - \mathcal{E}_c = 0.04$ эВ) описывается близким значением параметра: $T_1 = 200$ для однозарядных и $T_1 = 400$ К для двухзарядных центров.

Формула (1) в пределе точности эксперимента описывает и температурную зависимость коэффициента захвата электронов на однозарядные центры золота при $T < 150$ К, полученную в работе [11]. При дальнейшем росте температуры, также как и в случае Ni⁺, наблюдается более сильный рост коэффициента C_n^- .

3. Захват электронов на медь

Рекомбинация электронов через центры меди в германии изучена в двухзарядном состоянии ($\mathcal{E}_{Cu} = \mathcal{E}_v + 0.32$ эВ). Зависимость коэффициента захвата от электронной температуры определена при разных температурах $T = 30, 40, 50, 90$ К [12] методом [2]. Зависимость электронной температуры от поля в n -Ge (Cu) восстановливалась по экспериментально установленной полевой зависимости подвижности электронов в предположении, что основную роль в рассеянии играют заряженные примеси [12]. Используя эти результаты, мы установили, что лучшее совпадение результатов эксперимента с расчетами по формуле (1) получается при значении параметра $T_1 = 800$ К. Худшее совпадение получено для температурной зависимости $C_n^- = f(T)$; наблюдавшаяся в эксперименте [12, 13] зависимость выражена несколько сильнее, чем предсказывается теорией [4, 5].

4. Захват электронов на платину

Полевая зависимость коэффициента захвата электронов на примесные центры платины в трехзарядном состоянии измерена при температурах $T = 77$ и 26.2 К [14]. В этом случае для сопоставления теории с экспериментом мы использовали полевую зависимость электронной температуры, определенную при исследовании n -Ge (Au) в работе [2], и нашли, что платину можно характеризовать значением параметра $T_1 = 150$ К.

Заключение. Анализ сравнения экспериментальных результатов с теорией показывает, что в процессе захвата электронов на отталкивающие центры в разных зарядовых состояниях в германии большую роль играет механизм многофононной потери энергии, приводящий к появлению максимума в зависимости коэффициента захвата от электронной температуры $C_n^- = f(T)$ при сравнительно невысоких значениях напряженности электрического поля. Отметим, что из максимального значения соотношения $\{C_n^-(T_d)/C_n^-(T)\}_{\max}$ может быть определен параметр T_1 в тех случаях, когда неизвестна полевая зависимость электронной температуры, так как максимальное соотношение не зависит от T_c . Это свойство мы использовали для определения T_1 в случае платины, золота при низких температурах, а также для уточнения значения T_1 для примесей золота, меди. Также следует отметить, что во всех рассмотренных случаях наблюдаемый максимум на зависимости $C_n^- = f(T_d)$ и дальнейший спад C_n^- в области высоких электронных температур выражены слабее, чем предсказывает теория. Такое несоответствие может быть связано с деформацией потенциального барьера центра в электрическом поле и с увеличением вследствие этого вероятности проникновения электрона через него [5] или ослаблением зависимости $T_c^* = f(T_d)$ в области высоких электронных температур [15].

СПИСОК ЛИТЕРАТУРЫ

- [1] В. Л. Бонч-Бруевич. Сб. ст. ФТГ, 11, 182 (1959).
- [2] R. G. Pratt, B. K. Ridley. Proc. Phys. Soc., 81, 966 (1963).
- [3] V. L. Bonch-Bruevich, E. G. Landsberg. Phys. St. Sol., 29, 9 (1968).
- [4] В. Н. Абакумов, В. Карпус, В. И. Перель, И. Н. Яссиевич. ФТП, 22, 262 (1988).
- [5] V. N. Abakumov, V. I. Perel, I. N. Yassievich. Nonradiative rekombination in semiconductors, 320. Amsterdam—Oxford—N. Y.—Tokyo (1991).
- [6] С. Бумялене, Л. Климка, Г. Ласене. Лит. физ. сб., 18, 477 (1978).
- [7] В. Денис, Ю. Пожела. Горячие электроны, 289. Вильнюс (1971).
- [8] H. F. Tseng, S. S. Li. Phys. Rev. B, 6, 3066 (1972).
- [9] Л. А. Климка, К. Д. Глинчук. ФТП, 4, 673 (1970).
- [10] R. G. Pratt, B. K. Ridley. Proc. Phys. Soc., 85, 293 (1965).
- [11] И. В. Карпова, В. Г. Алексеева, С. Г. Калашников. ФТГ, 4, 634 (1962).
- [12] В. Г. Алексеева, Н. Г. Жданова, М. С. Каган, С. Г. Калашников, Е. Г. Ландсберг. ФТП, 6, 316 (1972).
- [13] В. Г. Алексеева, Н. Г. Жданова, М. С. Каган, С. Г. Калашников, Е. Г. Ландсберг. ФТП, 3, 1410 (1969).
- [14] P. H. Wisbey, B. K. Ridley. Soc. St. Phys., 3, 211 (1970).
- [15] В. Карпус, В. И. Перель. ЖЭТФ, 91, 2319 (1986).

Редактор В. В. Чалдышев
